

МИНИСТЕРСТВО ОБРАЗОВАНИЯ И НАУКИ РФ

Университет ИТМО

**ФАКУЛЬТЕТ СИСТЕМ УПРАВЛЕНИЯ И РОБОТОТЕХНИКИ**

**Отчет**

по курсовой работе

«Синтез адаптивного управления с ускоренной параметрической  
сходимостью»

Вариант №7

Выполнил:

Студент группы  
R34403

Смирнов Данил

Преподаватель:

Парамонов А. В.

к.т.н., доцент факультета СУиР,  
мегафакультет КТиУ

**ИТМО**

Санкт-Петербург, 2023

**Постановка задачи:** дан объект управления в виде модели

$$\dot{x} = Ax + bu + df, \quad x(0)$$

$$y = Cx,$$

где  $x \in R^n$  – измеряемый вектор состояния,  $u, y$  – измеряемые вход и выход объекта,  $A, b, C, d$  – известные матрицы соответствующих размерностей,  $f$  – неизмеряемое мультисинусоидальное возмущение с априори неизвестными амплитудами, частотами и фазами гармоник. Примем допущение, что сигналы  $u$  и  $f$  согласованы и  $b = d$ .

Цель: синтез закона адаптивного управления, компенсирующего неизвестное возмущение так, чтобы

$$\lim_{t \rightarrow \infty} \|x(t)\| = 0.$$

Применение схемы Крейссельмейера, обеспечивающей ускоренную параметрическую сходимость.

*Исходные данные:*

$$A = \begin{bmatrix} 0 & 1 \\ -2 & 3 \end{bmatrix}, b = \begin{bmatrix} 3 \\ 1 \end{bmatrix}, C = [7 \quad 0]$$

$$f(t) = 9 \cos(3t + 7) \sin(2t - 5)$$

#### Ход работы

##### 1. Проверка объекта управления на свойство полной управляемости и наблюдаемости.

$$\det(U) = \det([b \quad Ab]) = \det\left(\begin{bmatrix} 3 & 1 \\ 1 & -3 \end{bmatrix}\right) = -10 \neq 0 \Rightarrow \text{объект полностью управляем}$$

$$\det(Q) = \det\left(\begin{bmatrix} C \\ CA \end{bmatrix}\right) = \det\left(\begin{bmatrix} 7 & 0 \\ 0 & 7 \end{bmatrix}\right) = 49 \neq 0 \Rightarrow \text{объект полностью наблюдаем}$$

##### 2. Определение и реализация требуемых компонентов системы автоматического управления.

Эталонную модель построим с помощью полинома Ньютона:

$$s^2 + 2\omega s + \omega^2$$

$$\omega = \frac{t_{\pi}^*}{t_{\pi}} = \frac{4.8}{1.2} = 4$$

$$a_{ж0} = \omega^2 = 16$$

$$a_{ж1} = 2\omega = 8$$

В итоге получаем:

$$A_{ж} = \begin{bmatrix} 0 & 1 \\ -a_{ж0} & -a_{ж1} \end{bmatrix} = \begin{bmatrix} 0 & 1 \\ -16 & -8 \end{bmatrix}$$

$$H = [0 \quad 1]$$

Сформируем матрицу линейных обратных связей:

$$\begin{cases} AM - MA_{ж} = bH \\ K = HM^{-1} \end{cases} \Rightarrow K = [-8 \quad 13]$$

Сформируем закон управления и алгоритм адаптации при динамической модели ошибки. Объект управления:

$$\dot{x} = Ax + b(u + \theta_f^T \hat{\xi}_f)$$

Закон управления:

$$u = -Kx - \hat{\theta}_f^T \hat{\xi}_f$$

Динамическая модель ошибок:

$$\dot{x} = A_m x + b \tilde{\theta}_f^T \hat{\xi}_f$$

Алгоритм адаптации:

$$\dot{\hat{\theta}} = \gamma \hat{\xi}_f b^T P x = \gamma \hat{\xi}_f x_f,$$

где  $x_f = B^T P x$ ,  $A_m^T P + P A_m = -Q$ ,  $Q = \begin{bmatrix} 30 & 0 \\ 0 & 30 \end{bmatrix}$  – СПО матрица,  $A_m = A - BK$ .

Проанализируем модель динамической ошибки и соответственно сформируем статическую модель расширенной ошибки, не налагающую ограничений:

Динамическая модель:

$$\dot{x} = A_m x + b \tilde{\theta}_f^T \hat{\xi}_f, x_f = b^T P x \Rightarrow x_f = H(s) [\tilde{\theta}_f^T \hat{\xi}_f],$$

где  $H(s) = b^T P (sI - A_m)^{-1} b$

Статическая модель:

$$\bar{x}_f = x_f + H(s) [\hat{\theta}_f^T \hat{\xi}_f] - \hat{\theta}_f^T \bar{\xi}_f,$$

где  $\bar{\xi}_f = H(s) [\hat{\xi}_f]$ ,  $x_f = H(s) [\tilde{\theta}_f^T \hat{\xi}_f] \Rightarrow \bar{x}_f = \tilde{\theta}_f^T \bar{\xi}_f$

Проанализируем алгоритм адаптации при статической модели расширенной ошибки

$$\dot{\hat{\theta}}_f = \gamma \bar{\xi}_f \bar{x}_f, \bar{x}_f = \tilde{\theta}_f^T \bar{\xi}_f \Rightarrow \dot{\hat{\theta}}_f = -\gamma \bar{\xi}_f \bar{\xi}_f^T \tilde{\theta}_f (\det (\bar{\xi}_f \bar{\xi}_f^T) \equiv 0)$$

Обеспечим ему ускоренную параметрическую сходимость

$$\dot{\tilde{\theta}}_f = -\gamma L(s) [\bar{\xi}_f \bar{\xi}_f^T] \tilde{\theta}_f,$$

где  $L(s) = \frac{1}{s+l}$  – апериодическое звено  $\Rightarrow$

$$\Rightarrow \dot{\tilde{\theta}}_f = \gamma \left( L(s) [\bar{\xi}_f B^T P x] + L(s) [\bar{\xi}_f H(s) [\hat{\theta}_f^T \hat{\xi}_f]] - L(s) [\bar{\xi}_f \bar{\xi}_f^T] \hat{\theta}_f \right)$$

Сформируем наблюдатель состояния фильтра неизвестного возмущения:

$$\dot{\hat{\xi}}_f = \eta + N x, \dot{\eta} = A_0 \eta + (A_{0f} N - N A) x - N B u (N B = B_{0f}),$$

где  $B_{0f} = [0 \ 0 \ 0 \ 1]^T$

$$A_{0f} = \begin{bmatrix} 0 & 1 & 0 & 0 \\ 0 & 0 & 1 & 0 \\ 0 & 0 & 0 & 1 \\ -k_{f0} & -k_{f1} & -k_{f2} & -k_{f3} \end{bmatrix} = \begin{bmatrix} 0 & 1 & 0 & 0 \\ 0 & 0 & 1 & 0 \\ 0 & 0 & 0 & 1 \\ -4096 & -2048 & -384 & -32 \end{bmatrix}$$

Данная структура наблюдателя при фильтре  $\dot{\hat{\xi}}_f = A_{0f} \hat{\xi}_f + B_{0f} f$

неизвестного возмущения  $f = \theta_f^T \xi_f$  обеспечивает сходимость невязки к нулю:

$$\dot{e} = A_{0f} e,$$

где  $e = \xi_f - \hat{\xi}_f$ .

### 3. Реализация САУ с алгоритмом адаптации на базе схемы Крейссельмейера с ускоренной параметрической сходимостью

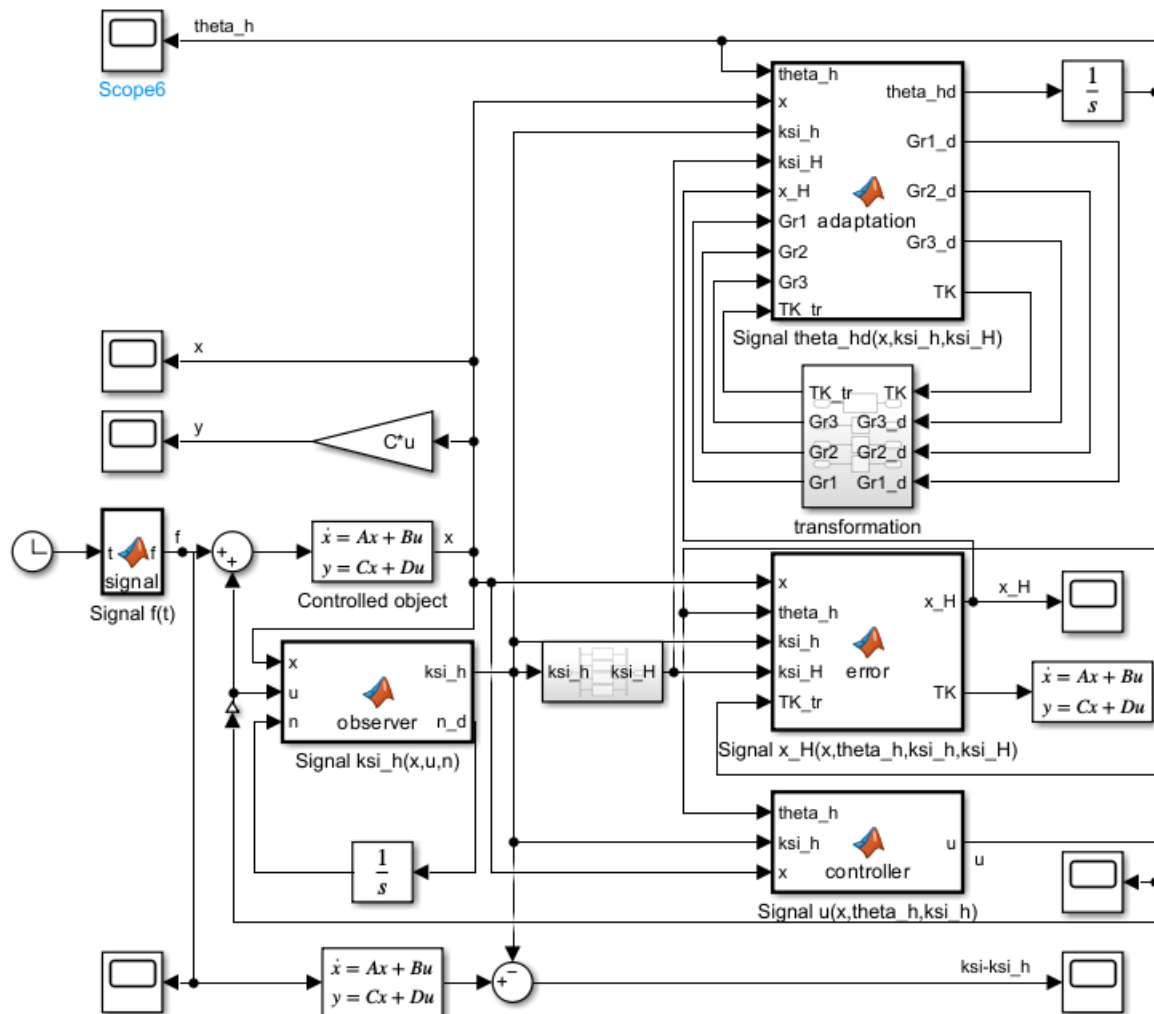


Рисунок 1 – Схема моделирования

#### 4. Компьютерное моделирование САУ и сравнение переходных процессов в системах с градиентным и модифицированным алгоритмами адаптации

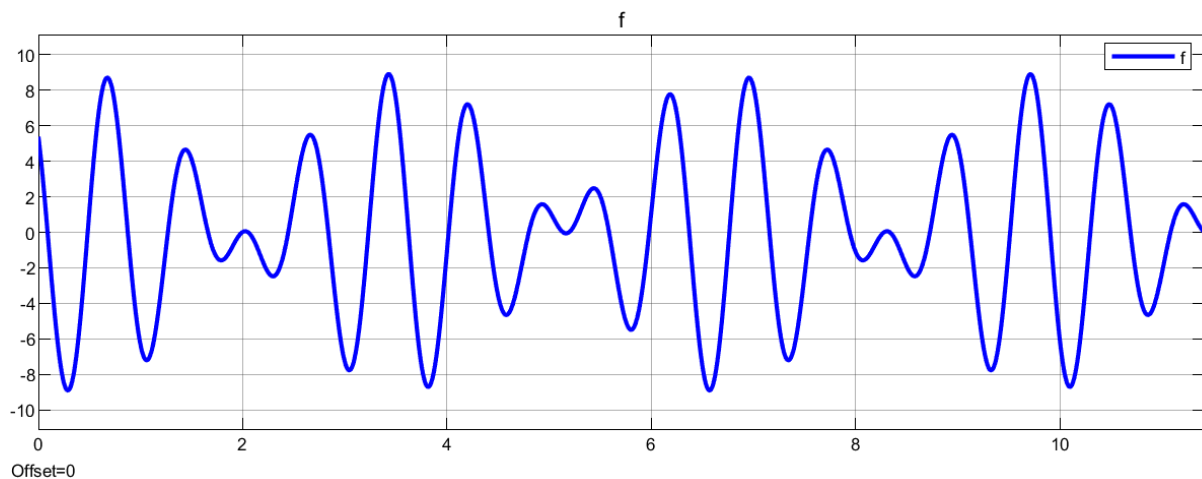


Рисунок 2 – График изменения внешнего возмущения  $f(t)$ (градиентный алгоритм адаптации)

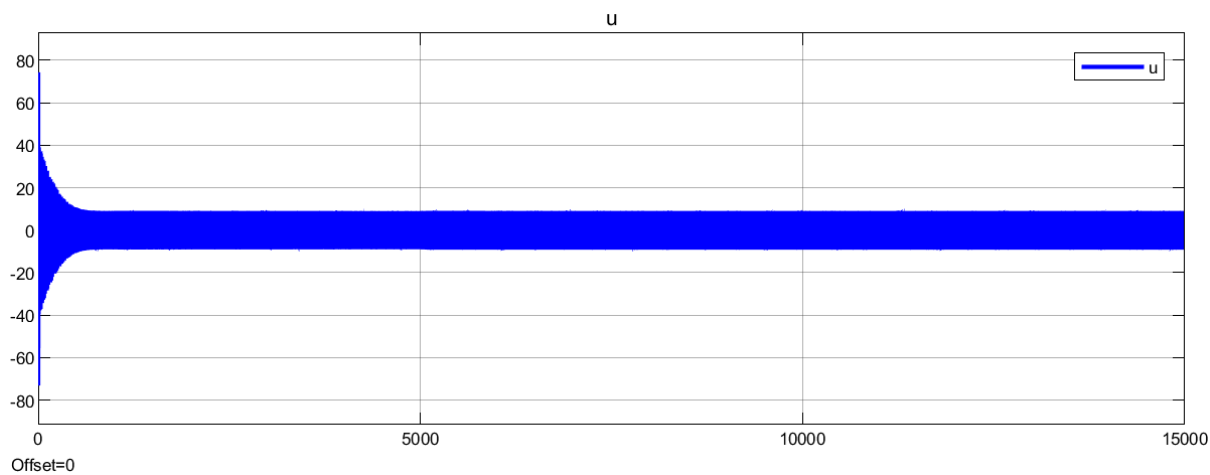


Рисунок 3.1 – График изменения управляющего воздействия  $u(t)$  (градиентный алгоритм адаптации)

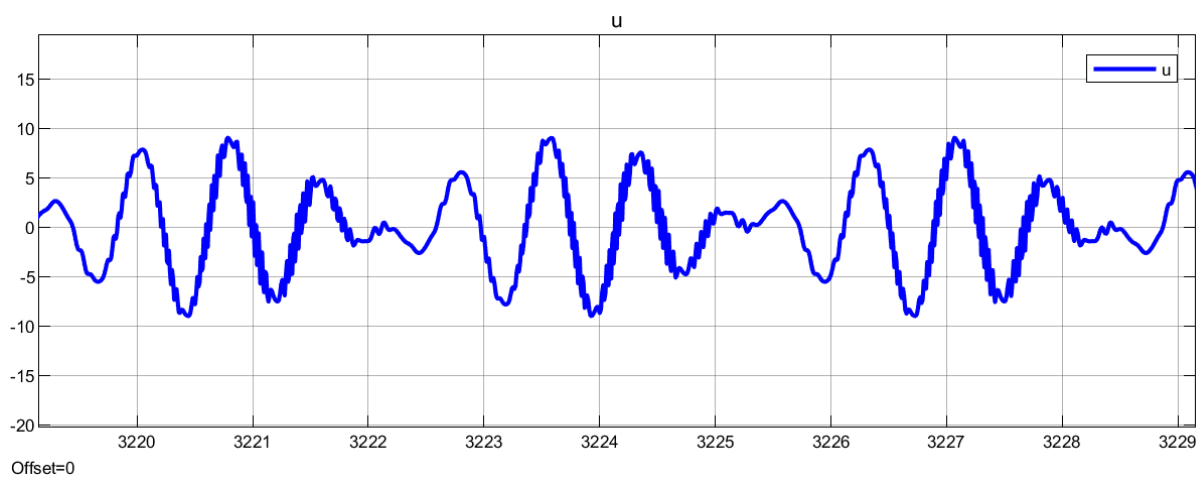


Рисунок 3.2 – График изменения управляющего воздействия  $u(t)$  (градиентный алгоритм адаптации)

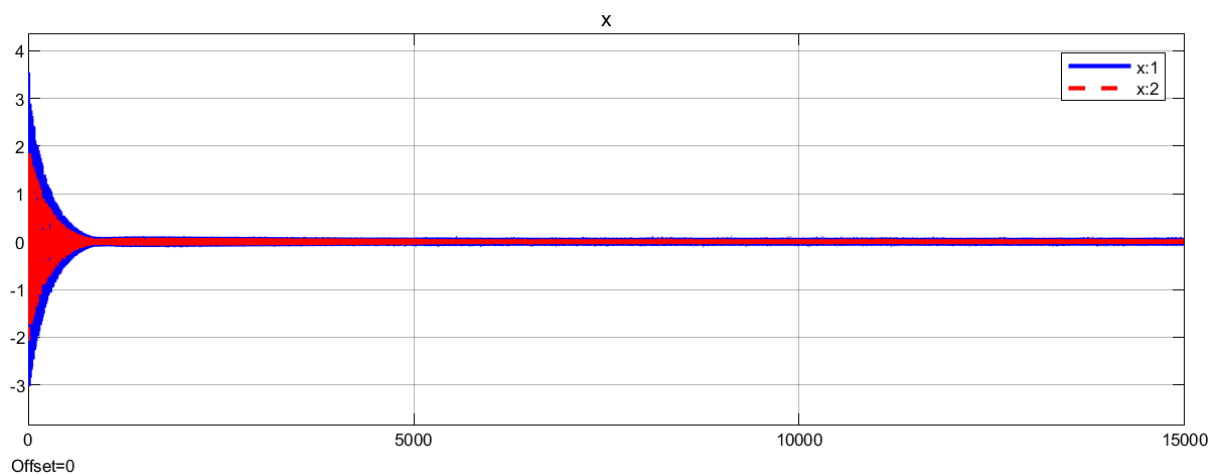


Рисунок 4 – График изменения вектора состояния объекта  $x(t)$  (градиентный алгоритм адаптации)

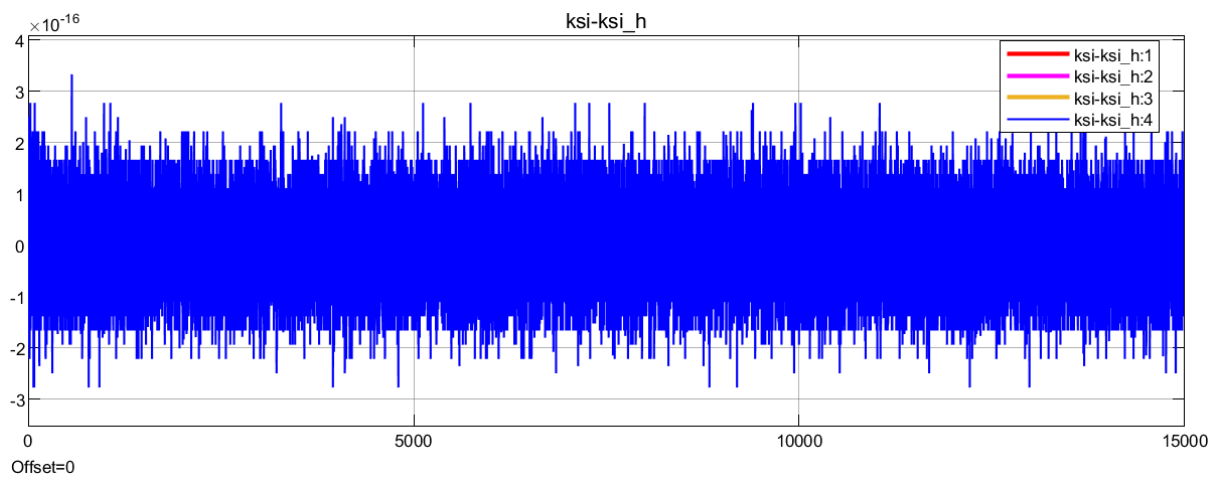


Рисунок 5 – График изменения вектора невязки наблюдателя  $\xi_f(t) - \hat{\xi}_f(t)$  (градиентный алгоритм адаптации)

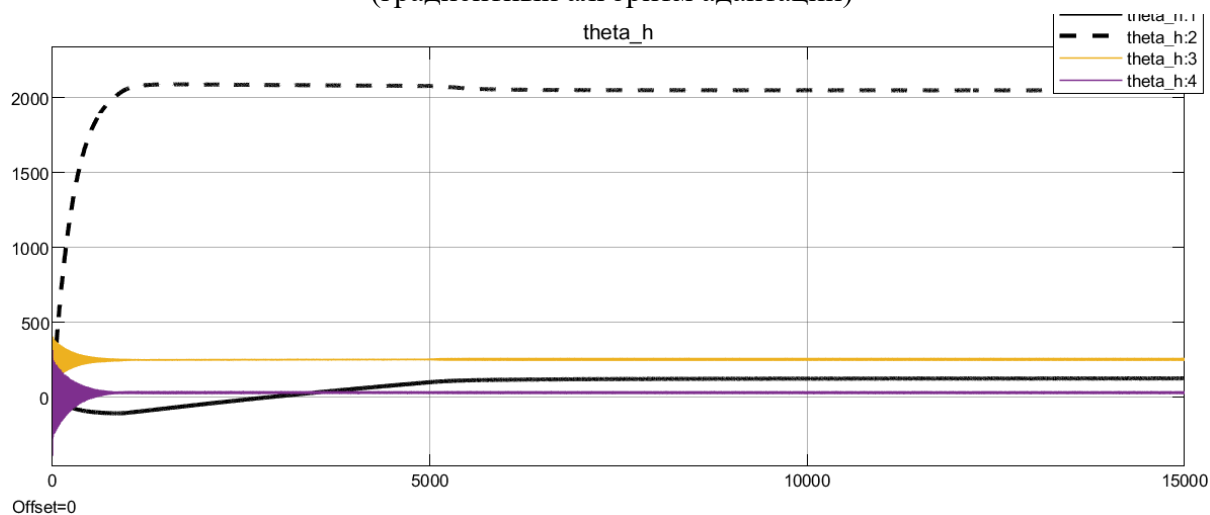


График 6 – График изменения вектора оценки параметров  $\hat{\theta}(t)$  (градиентный алгоритм адаптации)

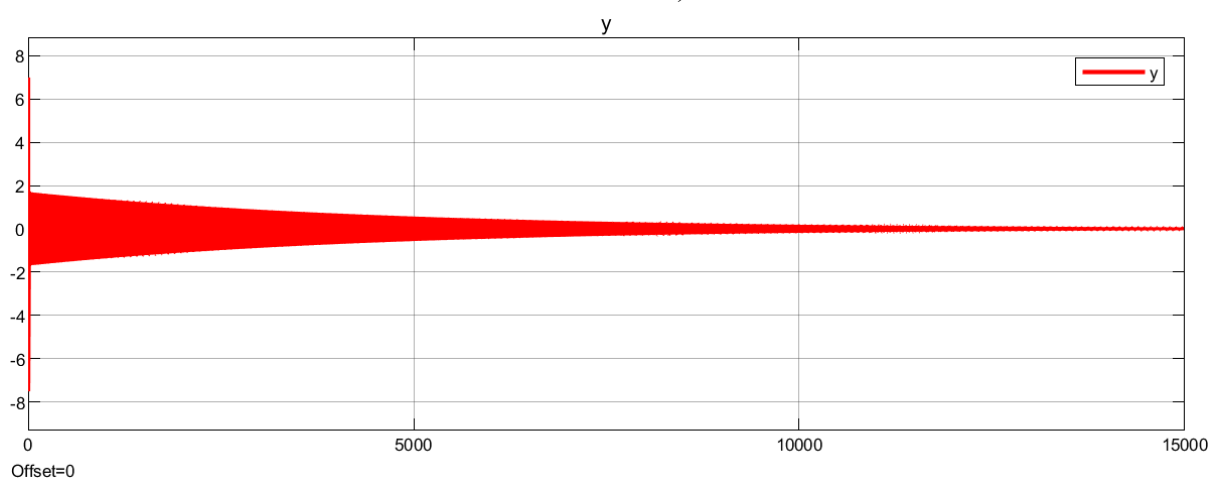


Рисунок 7 – График изменения выходной переменной  $y(t)$  (градиентный алгоритм адаптации)

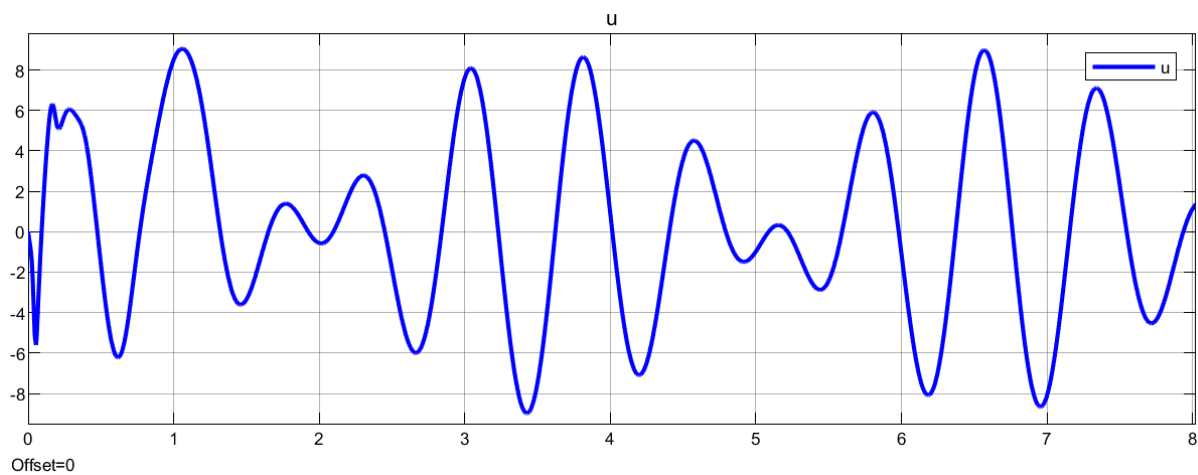


Рисунок 8 – График изменения управляющего воздействия  $u(t)$  (модифицированный алгоритм адаптации)

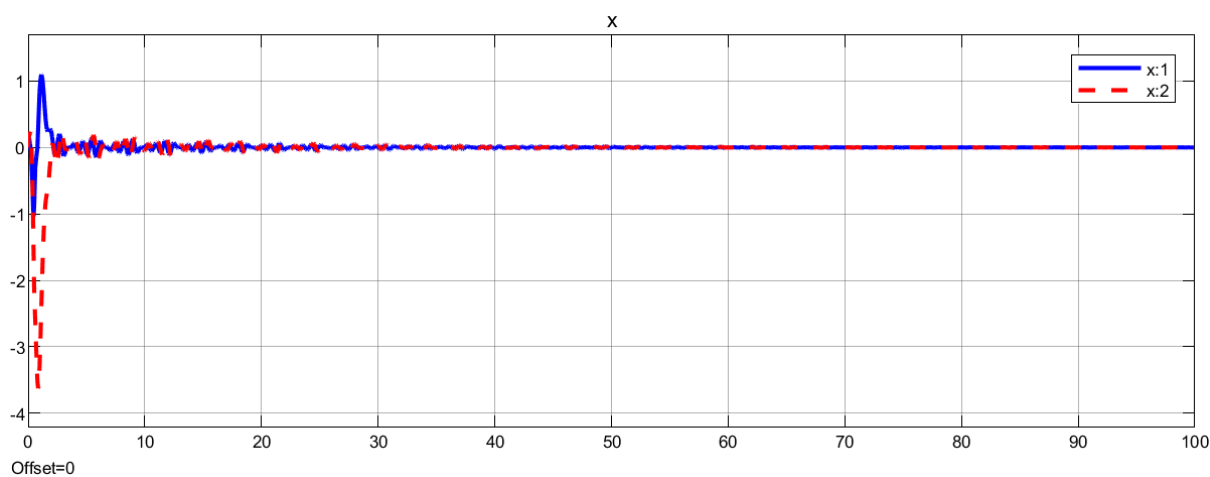


Рисунок 9 – График изменения вектора состояния объекта  $x(t)$  (модифицированный алгоритм адаптации)

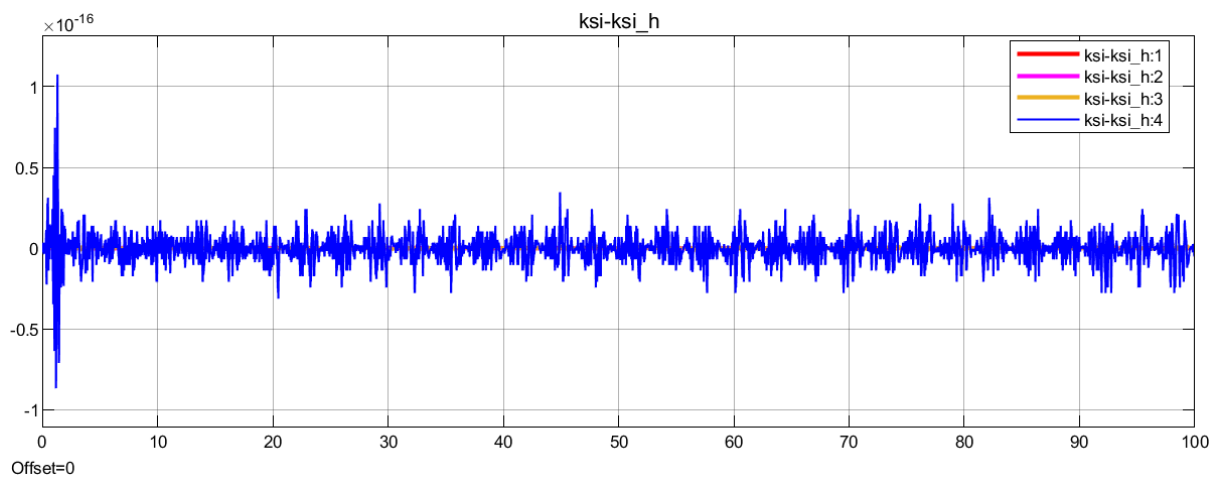


Рисунок 10 – График изменения вектора невязки наблюдателя  $\xi_f(t) - \hat{\xi}_f(t)$  (модифицированный алгоритм адаптации)

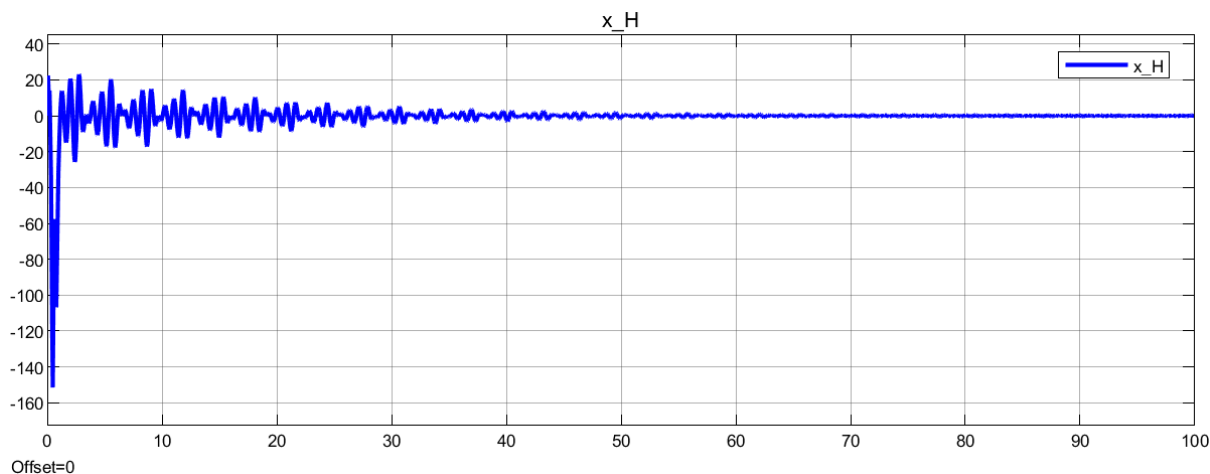


График 11 – График изменения расширенной ошибки  $\bar{x}_f(t)$  (модифицированный алгоритм адаптации)

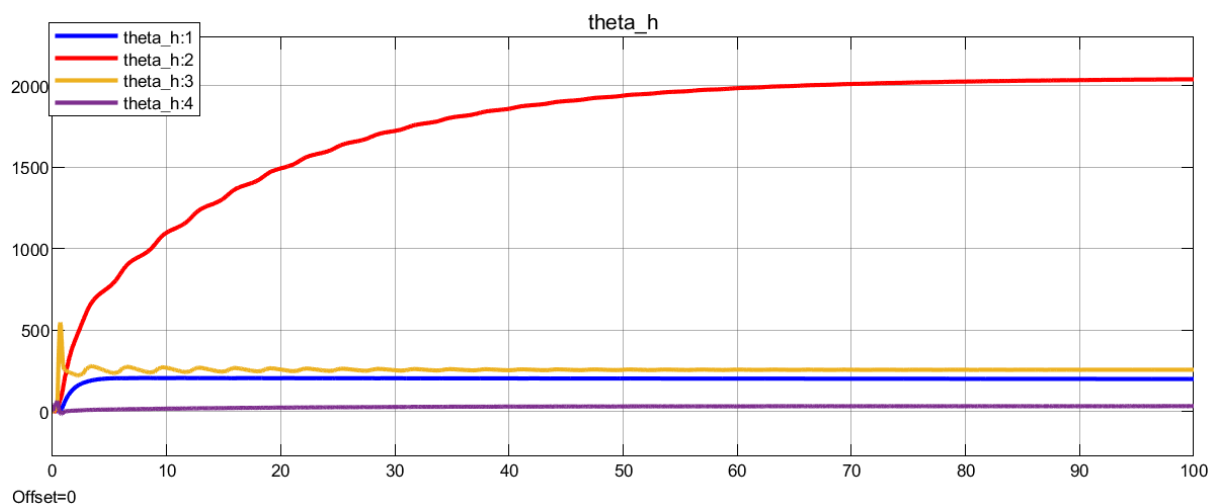


Рисунок 12 – График изменения вектора оценки параметров  $\hat{\theta}(t)$  (модифицированный алгоритм адаптации)

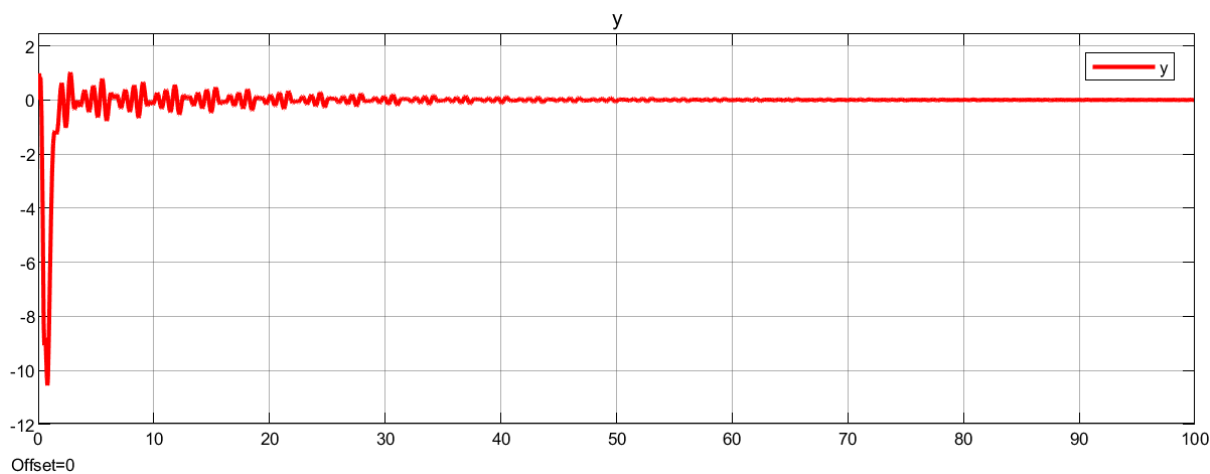


Рисунок 13 – График изменения выходной переменной  $y(t)$  (модифицированный алгоритм адаптации)



### **Вывод**

В ходе выполнения курсовой работы была произведена стабилизация объекта, а также был синтезирован закон адаптивного управления, компенсирующего неизвестное возмущение, с ускоренной параметрической сходимостью: схема Крейссельмейера позволила ускорить параметрическую сходимость системы почти в 250 раз, подбор оптимальных значений параметров  $K, Q, A_{0f}, L$  и  $\gamma$  также позволил ускорить параметрическую сходимость системы. Можно сделать вывод о том, что чем выше частоты внешнего возмущения, тем несоразмерно дольше протекает адаптация системы к нему как с ускорением, так и без.